

IFAE 2007  
11-13 Aprile, Napoli

## B-Mesoni:

•Differenze di Massa:

$$\Delta m_d, \Delta m_s$$

•Vite Medie:

$$\tau(\mathbf{B}^+)/\tau(\mathbf{B}_d), \quad \tau(\mathbf{B}_s)/\tau(\mathbf{B}_d), \\ \tau(\Lambda_b)/\tau(\mathbf{B}_d)$$

•Differenze di Larghezza:

$$\Delta \Gamma_d, \Delta \Gamma_s$$

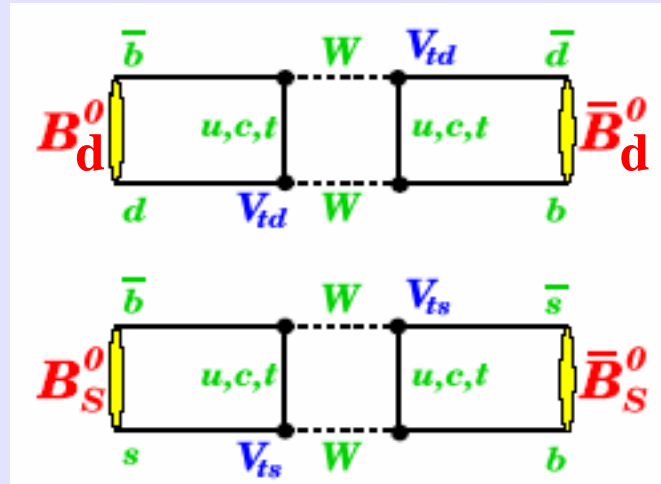
•Asimmetrie Semileptoniche:

$$A_{SL}^d, A_{SL}^s$$

Cecilia Tarantino  
Technical University Munich

Sistemi

$$\mathbf{B}_q^0 - \overline{\mathbf{B}}_q^0 \quad (q=d,s)$$



$$\hat{H} = \hat{M} - \frac{i}{2} \hat{\Gamma}$$

$$\hat{M} = \begin{pmatrix} M_{11} & M_{12} \\ M_{12}^* & M_{11} \end{pmatrix}$$

Oscillazione

$$\hat{\Gamma} = \begin{pmatrix} \Gamma_{11} & \Gamma_{12} \\ \Gamma_{12}^* & \Gamma_{11} \end{pmatrix}$$

Decadimento

Autostati:

$$|\mathbf{B}_q^{L,H}\rangle = p_q |\mathbf{B}_q^0\rangle \pm q_q |\overline{\mathbf{B}}_q^0\rangle$$

Osservabili  
Fisiche:

$$\Delta m_q = 2 |M_{12}^q|$$

$$\Delta \Gamma_q = -2 |M_{12}^q| \operatorname{Re} \left( \frac{\Gamma_{12}^q}{M_{12}^q} \right)$$

$$\tau_{B_q}^{-1} = \Gamma_{B_q} = \Gamma_{11}^q$$

$$A_{SL}^q = -2 \left( |q/p|_q - 1 \right) = \operatorname{Im} \left( \frac{\Gamma_{12}^q}{M_{12}^q} \right)$$

# Oscillazioni

Valori  
sperimentali:

$$\Delta m_d = 0.508(4)/\text{ps}$$

[HFAG, 2006]

$$\Delta m_s = 17.77(12)/\text{ps}$$

[CDF+D0, 2006]

Predizioni teoriche:

$$\Delta m_d = \frac{G_F^2 m_W^2}{6\pi^2} m_{B_d} |V_{td}|^2 \eta_B S_0(x_t) \frac{\hat{B}_{B_s} f_{B_s}^2}{\xi^2}$$

$$\Delta m_s = \frac{G_F^2 m_W^2}{6\pi^2} m_{B_s} |V_{ts}|^2 \eta_B S_0(x_t) \hat{B}_{B_s} f_{B_s}^2$$

$$\xi^2 = \begin{pmatrix} \hat{B}_{B_s} f_{B_s}^2 \\ \hat{B}_{B_d} f_{B_d}^2 \end{pmatrix}$$

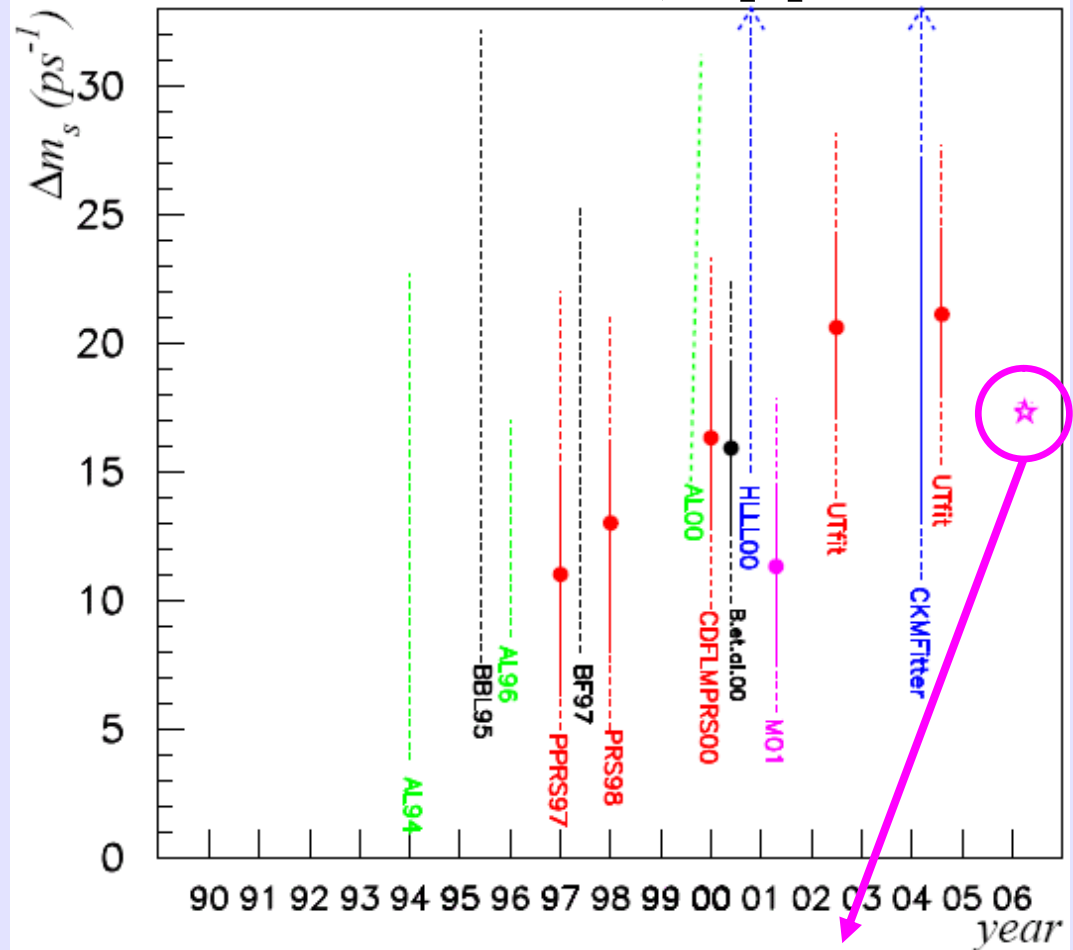
• **OPE** ( $m_t \rightarrow \infty, m_W \rightarrow \infty$ )

• **Contributo del top dominante**

•  $\eta_B S_0(x_t)$ : **fisica di corta-distanza, dalla teoria delle perturbazioni (2%)**  
[al NLO, Buras et al.: Nucl.Phys.B347 (1990)]

•  $\hat{B}_{B_s} f_{B_s}^2, \xi^2$ : **effetti di QCD non-perturbativa, dal Reticolo [vd. talk di Nazario]**  
 **principale fonte di incertezza**

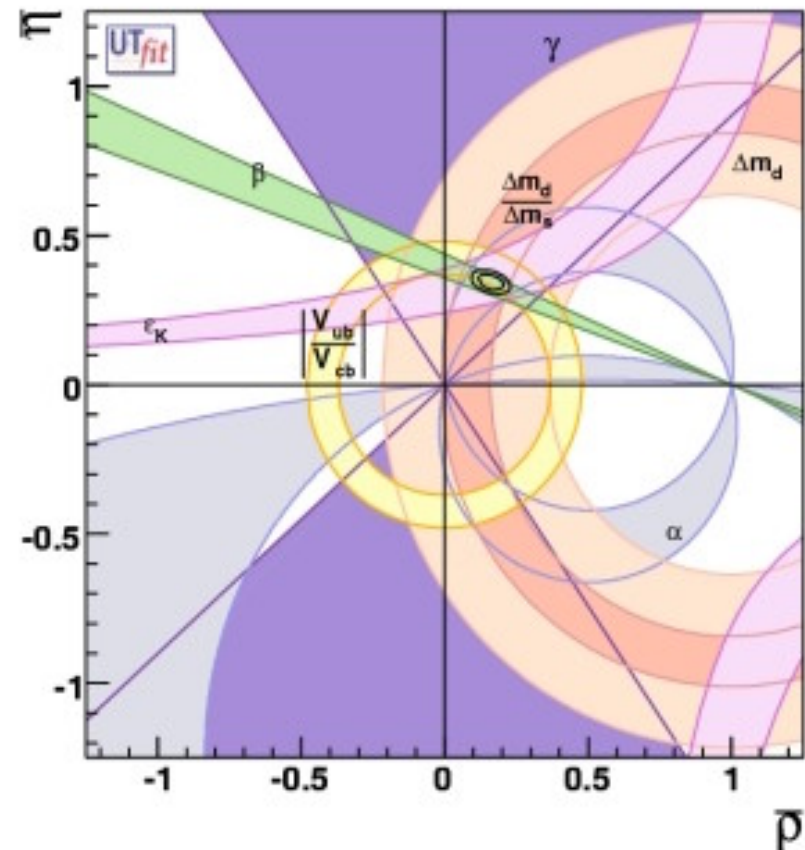
**Evoluzione temporale  
della determinazione  
indiretta di  $\Delta m_s$**



**La nuova misura sperimentale  
ha un ruolo fondamentale:**

- nell'analisi del Triangolo Unitario
- per testare la QCD sul reticolo
- per vincolare Nuova Fisica

# Analisi del Triangolo Unitario (assumendo lo SM)



[UTfit Coll., <http://utfit.roma1.infn.it>]

- Determinazione di  $\bar{\rho}$  e  $\bar{\eta}$  dai vincoli su lati e angoli
- $\Delta m_s$  riduce l'incertezza di  $\sim 10\%$
- $|V_{ub}|$  inclusivo e' piu' grande di  $2.5\sigma$  rispetto alla determinazione indiretta

**Assumendo lo SM,**  
**i vincoli sperimentali su lati e angoli**  
**permettono di determinare ``sperimentalmente``**  
**alcuni parametri adronici**

[UTfit Coll., <http://utfit.roma1.infn.it>]

	$\hat{B}_K$	$f_{B_s} \hat{B}_{B_s}^{1/2}$ (MeV)	$\xi$	$f_{B_d}$ (MeV)	$f_{B_s}$ (MeV)
UT fit	$0.75 \pm 0.09$	$261 \pm 6$	$1.24 \pm 0.08$	$187 \pm 13$	$231 \pm 9$
LQCD	$0.79 \pm 0.04 \pm 0.08$	$262 \pm 35$	$1.23 \pm 0.06$	$189 \pm 27$	$230 \pm 30$

[Hashimoto@Lattice]

**Grazie alla misura di  $\Delta m_s$ ,**  
**i B-parametri e le costanti di decadimento dei  $B_q$**   
**risultano fortemente vincolati**

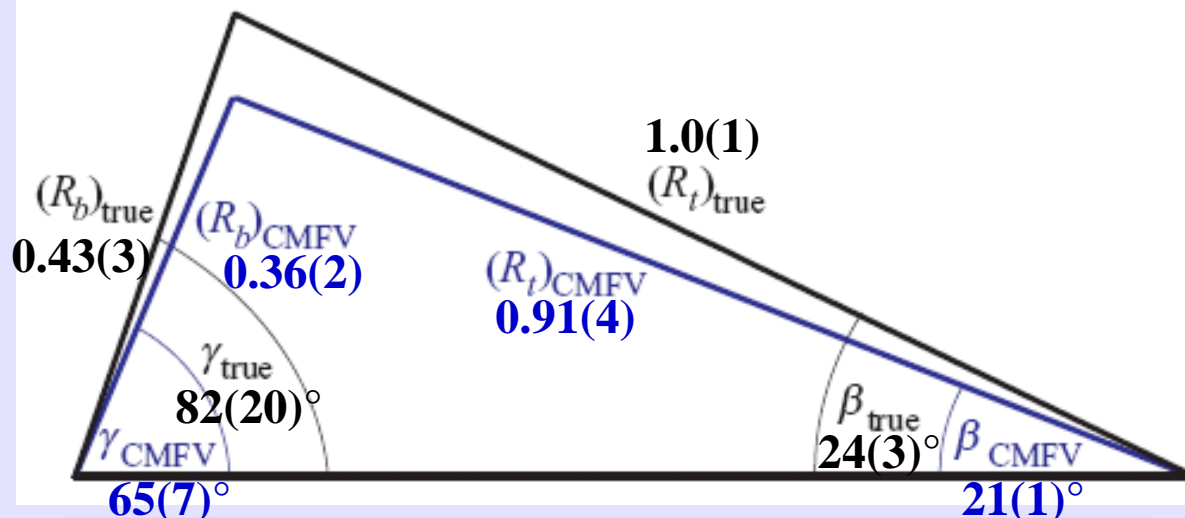
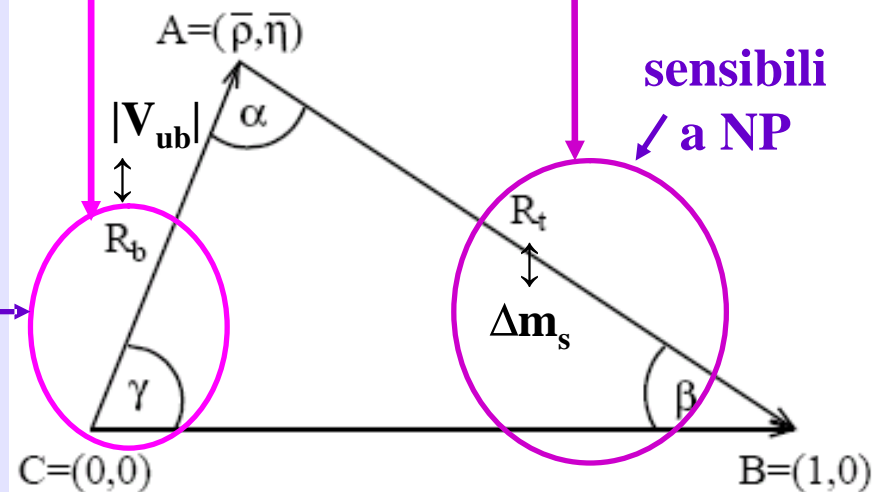
**Per un confronto significativo sono necessari**  
**nuovi calcoli sul reticolo (unquenched)**

**Oltre  
lo SM:**

La misura di  $\Delta m_s$  permette di **testare**  
la **constrained Minimal Flavour Violation (CMFV)** dal  
**confronto tra i triangoli "true" ( $R_b, \gamma$ ) e "CMFV" ( $R_t, \beta$ )**

[M.Blanke,A.J.Buras,D.Guadagnoli,C.T.,  
hep-ph/0604057]

decadimenti  
tree-level



La differenza deriva da  $|V_{ub}|$  **inclusivo**

...e altri studi oltre lo SM:

Ciuchini,Silvestrini

Isidori,Paradisi

Endo,Mishima

Foster,Okumura,Roszkowski

Cheung at al.

Baek

He,Valencia

Blanke,Buras

Altmannshofer,Buras,Guadagnoli

...

# Matrice di Decadimento

$$\hat{\Gamma} = \begin{pmatrix} \Gamma_{11} & \Gamma_{12} \\ \Gamma_{12}^* & \Gamma_{11} \end{pmatrix}$$



$$\Gamma_{11}^q \quad (\Delta B = 0)$$

• Vite Medie:  $\Gamma_{B_q} = \Gamma_{11}^q$

$$\Gamma_{12}^q \quad (\Delta B = 2)$$

• Differenze di Larghezza:  $\Delta\Gamma_q = \Gamma_{B_L^q} - \Gamma_{B_H^q} \leftrightarrow \Gamma_{12}^q$

• Asimmetrie semileptoniche:  $A_{SL}^q = -2 \left( \left| \frac{q}{p} \right|_q - 1 \right) \leftrightarrow \Gamma_{12}^q$

$V_{CKM}$   
diverso



**HQE** ( $m_b \gg \Lambda_{\text{QCD}}$ )

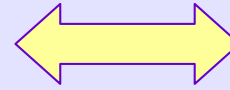
$$\Gamma_{12}^q = \sum_k \frac{\vec{c}_k^q(\mu)}{m_b^k} \langle \mathbf{B}_q^0 | \vec{O}_k^{q\Delta B=2}(\mu) | \overline{\mathbf{B}}_q^0 \rangle$$

**Separazione di Scale**

- $\vec{c}_k^q(\mu)$  : corta-distanza (perturbativi)
- $\langle \mathbf{B}_q^0 | \vec{O}_k^{q\Delta B=2}(\mu) | \overline{\mathbf{B}}_q^0 \rangle$  : lunga-distanza (non-perturbativi)

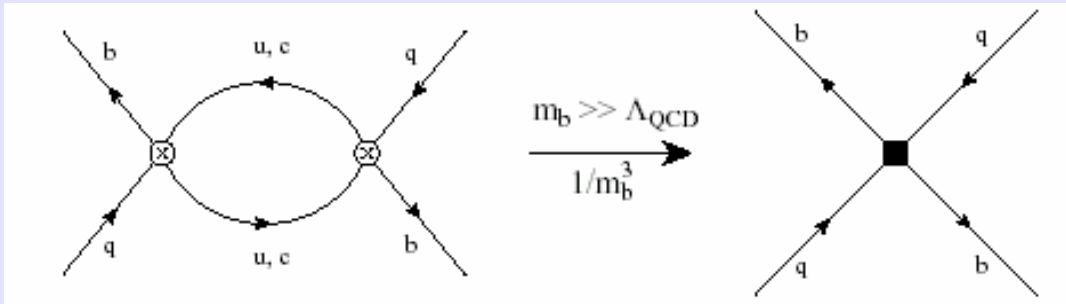
# Coefficients di Wilson

Grande rilascio di energia



Interazione locale

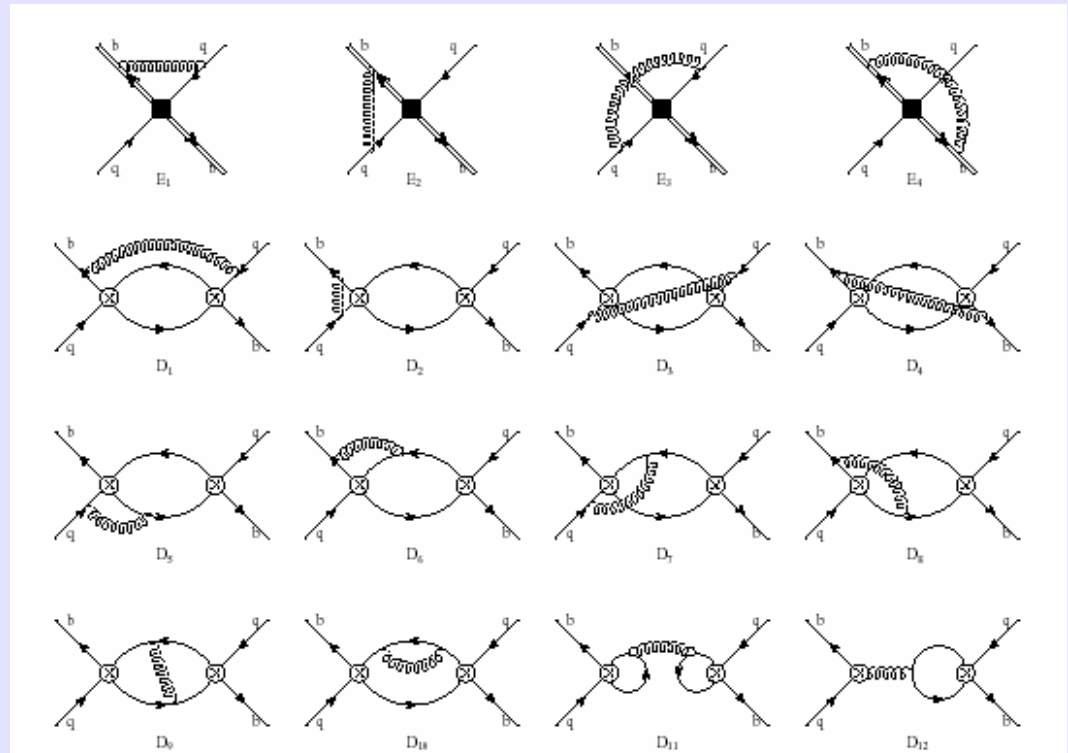
EFFETTI SPETTATORE



Matching al **NLO** in QCD e  $O(1/m_b)$  nella HQE

**Diagrammi NLO**

$\Delta B = 2 (\Delta B = 0)$



• **Vite Medie**

$$\Gamma_{11}^q = \frac{G_F^2 |V_{cb}|^2 m_b^5}{192\pi^3 (2M_{B_q})} \left[ c^{(3)} \langle \bar{b}b \rangle + c^{(5)} \frac{g_s}{m_b^2} \langle \bar{b} \sigma_{\mu\nu} G^{\mu\nu} b \rangle + \frac{96\pi^2}{m_b^3} \sum_k \left( c_k^{(6)} \langle O_k^{(6)} \rangle + \frac{c_k^{(7)}}{m_b} \langle O_k^{(7)} \rangle \right) \right]$$

$O(1)$  (1996) [M. Neubert e C.T. Sachrajda]

$O(\alpha_s)$  (2002)

• [E. Franco, V. Lubicz, F. Mescia e C.T.]

• [M. Beneke, G. Buchalla, C. Greub, A. Lenz e U. Nierste]

**Gli Effetti Spettatore,**  
responsabili delle diverse vite medie,  
appaiono all'  $O(1/m_b^3)$

$O(1/m_b)$  (2004)

• [F. Gabbiani, A. I. Onishchenko e A. A. Petrov]

•  $\frac{\Delta\Gamma_q}{\Gamma_{SL}} e A^q$   
 $O(\alpha_s)$  (2003)

$$\Gamma_{12}^s = -\frac{G_F^2 m_b^2}{12\pi (2M_{B_s})} (V_{cs}^* V_{cb})^2 \left[ C_1 \langle O_1^s \rangle + C_2 \langle O_2^s \rangle + \delta_{1/m_b} \right]$$

• [M. Ciuchini, E. Franco, V. Lubicz, F. Mescia e C.T.]

• [M. Beneke, G. Buchalla, A. Lenz e U. Nierste]

**Il contributo dominante**  
nella HQE e' di  $O(1/m_b^3)$

$O(1/m_b)$  (1996)

• [M. Beneke, G. Buchalla e I. Dunietz]

+ cambio di base conveniente (2006)

• [A. Lenz e U. Nierste]

# Elementi di Matrice: Operatori con $\Delta B=0$

Contributo dominante degli effetti spettatore:  $O(1/m_b^3)$

$$O_1^q = (\bar{b}q)_{V-A} (\bar{q}b)_{V-A} \leftrightarrow B_1^q,$$

$$O_2^q = (\bar{b}q)_{S-P} (\bar{q}b)_{S+P} \leftrightarrow B_2^q,$$

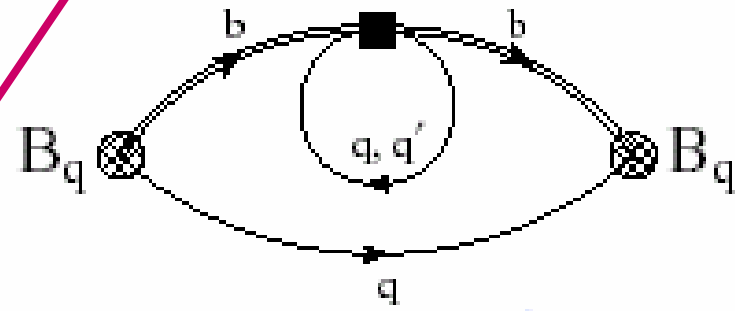
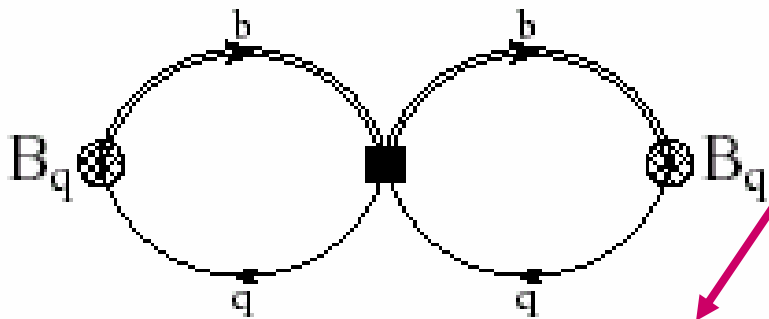
$$O_3^q = (\bar{b}T^a q)_{V-A} (\bar{q}T^a b)_{V-A} \leftrightarrow \epsilon_1^q,$$

$$O_4^q = (\bar{b}T^a q)_{S-P} (\bar{q}T^a b)_{S+P} \leftrightarrow \epsilon_2^q,$$

$$O_P = (\bar{b}T^a b)_V \sum_{q=u,d,s,c} (\bar{q}T^a q)_V$$

Non calcolato

$$[(\bar{q}q)_{V-A} = \bar{q}\gamma_L^\mu q, \quad (\bar{q}q)_{S\pm P} = \bar{q}(1 \pm \gamma_5)q, \quad (\bar{q}q)_V = \bar{q}\gamma^\mu q]$$



Ci si aspetta che questi contributi siano:

- trascurabili in  $\tau(B^+)/\tau(B_d)$  [effetto ~~SU(2)~~]
- piccoli in  $\tau(B_s)/\tau(B_d)$  [effetto ~~SU(3)~~]
- significativi in  $\tau(\Lambda_b)/\tau(B_d)$

Non calcolati

## B-parametri:

## Barione $\Lambda_b$

- Solo un calcolo sul reticolo, in HQET ( $m_b \rightarrow \infty$ ), evoluto at LO

[M. Di Pierro, C.T. Sachrajda, C. Michael (UKQCD Collaboration), 1999]

## Mesoni ( $B_d, B_s, B^+$ )

- HQET sul reticolo ( $m_b \rightarrow \infty$ )

$$B_1^d = 1.06 \pm 0.08, \quad B_2^d = 1.01 \pm 0.07,$$
$$\varepsilon_1^d = -0.01 \pm 0.03, \quad \varepsilon_2^d = -0.03 \pm 0.02.$$

[M. Di Pierro e C.T. Sachrajda, 1998]

- QCD sul reticolo ( $m_c \leq m_Q < m_b, m_Q \rightarrow m_b$ )

$$B_1^d = 1.2 \pm 0.2, \quad B_2^d = 0.9 \pm 0.1,$$
$$\varepsilon_1^d = 0.04 \pm 0.01, \quad \varepsilon_2^d = 0.04 \pm 0.01.$$

[APE (D. Becirevic et al.), 2001]

- Regole di Somma, in HQET

$$B_1^d = 1.01 \pm 0.01, \quad B_2^d = 0.99 \pm 0.01,$$
$$\varepsilon_1^d = -0.08 \pm 0.02, \quad \varepsilon_2^d = -0.01 \pm 0.03.$$

[M.S. Baek et al., 1998]

Contributo sotto-dominante degli effetti spettatore:  $O(1/m_b^4)$

8 operatori, dalla VSA (B-mesoni) o dal quark-diquark model (barione)

# Elementi di Matrice: Operatori con $\Delta B=2$

Contributo dominante:  $O(1/m_b^3)$

$$O_1^q = (\bar{b}q)_{V-A} (\bar{b}q)_{V-A} \leftrightarrow B_1^q,$$

$$O_2^q = (\bar{b}q)_{S-P} (\bar{b}q)_{S-P} \leftrightarrow B_2^q,$$

B-parametri:

Dalle Regole di Somma in QCD [J.G. Korner et al., 2003] e

Reticolo:

• HQET ( $m_b \rightarrow \infty$ )

$$B_1^s = 0.83(5)(6), \quad B_2^s = 0.81(2)(10)$$

[V. Gimenez e J. Reyes, 2000]

• NRQCD ( $O(1/m_b)$ )

$$B_1^s = 0.85(3)(11), \quad B_2^s = 0.82(2)(11)$$

[Hi-KEK (S. Hashimoto et al.), 2000]

• Unquenched NRQCD ( $n_f=2$ )

$$B_1^s = 0.85(2)(6), \quad B_2^s = 0.84(6)(8)$$

[JLQCD (S. Aoki et al.), 2001-2003]

• QCD ( $m_c \leq m_Q < m_b, m_Q \rightarrow m_b$ )

$$B_1^s = 0.91(3)_{-6}^{+0}, \quad B_2^s = 0.86(2)_{-3}^{+2}$$

[APE (D. Becirevic et al.), 2000]

• QCD +HQET

I risultati di QCD (relativistici) e HQET (statici) sono combinati

$$B_1^s = 0.87(2)(5), \quad B_2^s = 0.84(2)(4)$$

[APE (D. Becirevic et al.), 2001]

**Un nuovo studio in NRQCD  
con nf=2+1(staggered)  
trova risultati compatibili**



$B_1^s = 0.76(11)$ ,  $B_2^s = 0.84(13)$   
[HPQCD (E.Dalgic et al.), 2006]

**Contributo sotto-dominante:  $O(1/m_b^4)$**

**4 Operatori  $\{R_1^q, R_2^q, R_3^q, R_4^q\}$ :**

•  $R_1^q, R_4^q$  sono legati ad operatori calcolati sul reticolo,  
tramite identità di Fierz ed equazioni del moto

•  $R_2^q, R_3^q$  sono stimati nella Vacuum Saturation Approximation

**Un calcolo con le regole di somma in QCD  
e' in corso di svolgimento**

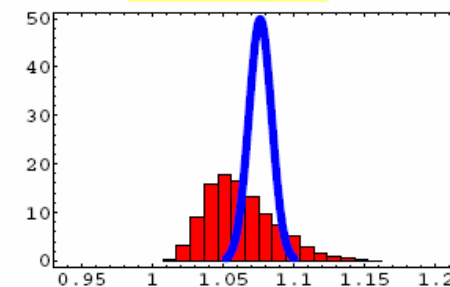
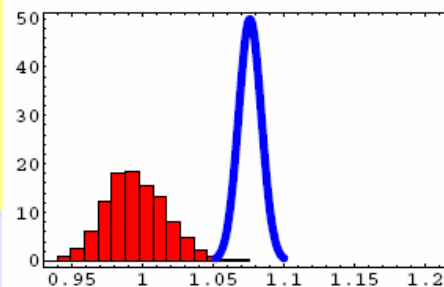
[A.A. Pivovarov, comunicazione privata]

# Rapporti di Vite Medie

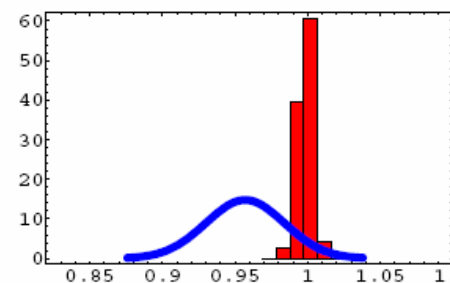
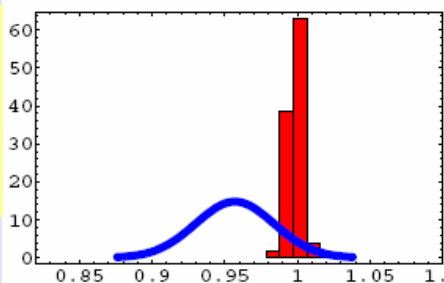
**LO**

**NLO**

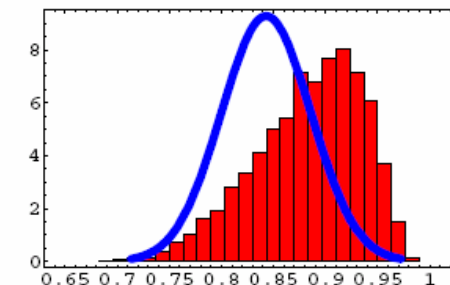
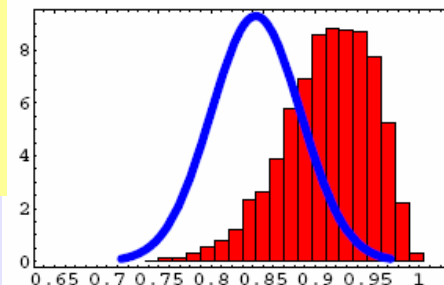
$$\frac{\tau(B^+)}{\tau(B_d)}$$



$$\frac{\tau(B_s)}{\tau(B_d)}$$



$$\frac{\tau(\Lambda_b)}{\tau(B_d)}$$



	$\frac{\tau(B^+)}{\tau(B_d)}$	$\frac{\tau(B_s)}{\tau(B_d)}$	$\frac{\tau(\Lambda_b)}{\tau(B_d)}$
<b>LO</b>	<b>1.01(3)</b>	<b>1.00(1)</b>	<b>0.93(4)</b>
<b>NLO</b>	<b>1.06(3)</b>	<b>1.00(1)</b>	<b>0.90(5)</b>
<b>NLO+</b> <b><math>O(1/m_b^4)</math></b>	<b>1.06(2)</b>	<b>1.00(1)</b>	<b>0.88(5)</b>



**Predizioni teoriche al NLO + contributo di  $O(1/m_b^4)$ :**

$$\frac{\tau(B^+)}{\tau(B_d)} = 1.06 \pm 0.02, \quad \frac{\tau(B_s)}{\tau(B_d)} = 1.00 \pm 0.01, \quad \frac{\tau(\Lambda_b)}{\tau(B_d)} = 0.88 \pm 0.05$$

[E.Franco, V.Lubicz, F.Mescia, C.T., 2002-2004]

**Medie Sperimentali:**

$$\frac{\tau(B^+)}{\tau(B_d)} = 1.076 \pm 0.008, \quad \frac{\tau(B_s)}{\tau(B_d)} = 0.957 \pm 0.027, \quad \frac{\tau(\Lambda_b)}{\tau(B_d)} = 0.84 \pm 0.05$$

[HFAG, 2006]

...prima delle nuove misure del Tevatron...

**CDF**

$$\frac{\tau(\Lambda_b)}{\tau(B_d)} = 1.018 \pm 0.062 \pm 0.007$$

[CDF (J.Reid Mumford talk@CKM06), 2006]

**D0 [PRELIMINARE]**

$$\frac{\tau(\Lambda_b)}{\tau(B_d)} = 0.870 \pm 0.102 \pm 0.041$$

[D0 (B.Quinn talk@CKM06), 2006]

- differisce dalla media mondiale di  $2.3 \sigma$
- misura singola piu' precisa, da  $\Lambda_b \rightarrow \Lambda^0 J_\psi$  (fully reconstructed)
- Si tratta di un `` $\Lambda_b$  -puzzle``? Troppo presto per rispondere!

# Differenze di larghezza e Asimmetrie Semileptoniche

$$\frac{\Delta\Gamma_q}{\Gamma_q} = -\frac{\Delta m_q}{\Gamma_q} \operatorname{Re}\left(\frac{\Gamma_{12}^q}{M_{12}^q}\right)$$

$$A_{SL}^q = \operatorname{Im}\left(\frac{\Gamma_{12}^q}{M_{12}^q}\right)$$

Dopo la misura di  $\Delta m_s$  [CDF]  
le incertezze non-perturbative  
sono contenute solo nei B-parametri

$\Gamma_{12}^q$  descrive il decadimento (solo in particelle dello SM)

Insensibile a NP

$M_{12}^q$  descrive l'oscillazione  
tramite i diagrammi a box

Sensibile  
a NP

$$M_{12}^q = (M_{12}^q)_{SM} C_{B_q} e^{2i\varphi_{B_q}}$$

$$\frac{\Delta\Gamma_q}{\Gamma_q} = -\left(\frac{\Delta m_q}{\Gamma_q}\right)^{\exp} \left[ \operatorname{Re}\left(\frac{\Gamma_{12}^q}{M_{12}^q}\right)^{SM} \frac{\cos 2\varphi_{B_q}}{C_{B_q}} - \operatorname{Im}\left(\frac{\Gamma_{12}^q}{M_{12}^q}\right)^{SM} \frac{\sin 2\varphi_{B_q}}{C_{B_q}} \right]$$

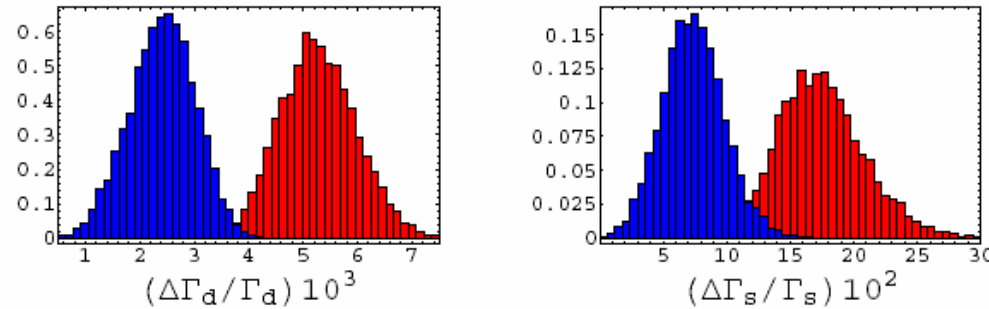
$$A_{SL}^q = \left[ \operatorname{Im}\left(\frac{\Gamma_{12}^q}{M_{12}^q}\right)^{SM} \frac{\cos 2\varphi_{B_q}}{C_{B_q}} - \operatorname{Re}\left(\frac{\Gamma_{12}^q}{M_{12}^q}\right)^{SM} \frac{\sin 2\varphi_{B_q}}{C_{B_q}} \right]$$

In particolare  
 $\operatorname{Re} \gg \operatorname{Im}$  in  $B_s$

anche una piccola  $\varphi_{B_s}$   
puo' essere vista in  $A_{SL}^s$

# Differenze di Larghezza

NLO distr. vs LO distr.



## Medie sperimentali:

$$\frac{\Delta\Gamma_d}{\Gamma_d} = (9 \pm 37) \cdot 10^{-3}, \quad \frac{\Delta\Gamma_s}{\Gamma_s} = (14 \pm 6) \cdot 10^{-2}$$

[HFAG, 2006]

[Media mondiale inufficiale, talk di R. Van Kooten@FP&CP2006]

## Predizioni teoriche al NLO + contributo di $O(1/m_b^4)$ :

$$\frac{\Delta\Gamma_d}{\Gamma_d} = (2.3 \pm 0.8) \cdot 10^{-3}, \quad \frac{\Delta\Gamma_s}{\Gamma_s} = (7 \pm 3) \cdot 10^{-2}$$

[M.Ciuchini, E.Franco, V.Lubicz, F.Mescia, C.T., 2003]

Incetanze grandi per essere predizioni al NLO e  $O(1/m_b^4)$ :  
Sono dovute ai contributi significativi al NLO e  $O(1/m_b^4)$   
che inducono cancellazioni

# Idea di A.Lenz e U.Nierste: Cambio di Base!

[A.Lenz e U. Nierste, hep-ph/0612167]

$$O_1^q = (\bar{b}_i q_i)_{V-A} (\bar{b}_j q_j)_{V-A} \leftrightarrow B_1^q, \quad O_2^q = (\bar{b}_i q_i)_{S-P} (\bar{b}_j q_j)_{S-P} \leftrightarrow B_2^q, \quad O_3^q = (\bar{b}_i q_j)_{S-P} (\bar{b}_j q_i)_{S-P} \leftrightarrow B_3^q,$$

$$\{O_1^q, O_2^q\} \rightarrow \{O_1^q, O_3^q\}$$

Usando la relazione al NLO e  $O(1/m_b)$ :

Base vecchia  $\rightarrow$  Base nuova

$$O_2^q + \alpha_1 O_3^q + \frac{\alpha_2}{2} O_1^q = R_0^q$$

$$\begin{array}{l} \text{Re} \left( \frac{\Gamma_{12}^s}{M_{12}^s} \right)^{\text{OLD}} = \overset{O(1)}{\downarrow} (-0.46 + \overset{O(\alpha_s)}{\downarrow} 0.23) + \overset{O(1)}{\downarrow} (-10.4 + \overset{O(\alpha_s)}{\downarrow} 3.9) \frac{B_2^s}{B_1^s} + \overset{O(1/m_b)}{\downarrow} 4.0 \\ \text{Re} \left( \frac{\Gamma_{12}^s}{M_{12}^s} \right)^{\text{NEW}} = \overset{O(1)}{\downarrow} (-5.9 + \overset{O(\alpha_s)}{\downarrow} 1.4) + \overset{O(1)}{\downarrow} (-2.1 + \overset{O(\alpha_s)}{\downarrow} 0.2) \frac{B_3^s}{B_1^s} + \overset{O(1/m_b)}{\downarrow} 1.6 \end{array}$$

- La serie si comporta meglio in  $\alpha_s$  e in  $1/m_b$
- Il contributo privo di incertezze adroniche ( $\leftrightarrow O_1^q$ ) e' piu' grande

	Base vecchia	Base nuova
$\frac{\Delta\Gamma_d}{\Gamma_d}$	$2.3(8)10^{-3}$	$4.1(6)10^{-3}$
$\frac{\Delta\Gamma_s}{\Gamma_s}$	$7(3)10^{-2}$	$13(2)10^{-2}$

Predizione teoriche aggiornate:  
Media basi vecchia e nuova +  
incertezza stimata dallo shift

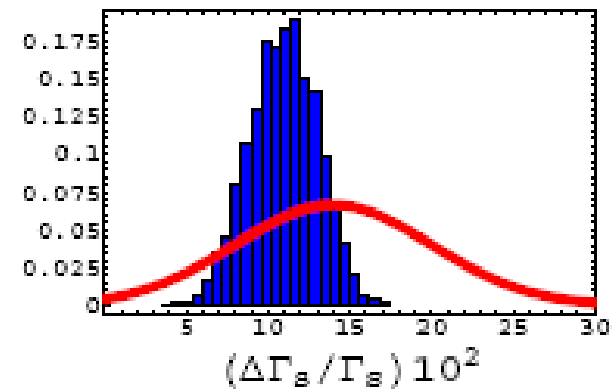
$$\frac{\Delta\Gamma_d}{\Gamma_d} = (3.6 \pm 1.0) \cdot 10^{-3}, \quad \frac{\Delta\Gamma_s}{\Gamma_s} = (11 \pm 4) \cdot 10^{-2}$$

[C.T.,hep-ph/0702235]

Lenz e Nierste  
trovano  $(12.7 \pm 2.4) \cdot 10^{-2}$ :  
Ottimo accordo!

Le incertezze non-perturbative  
hanno un impatto minore nella nuova base

th. vs exp.

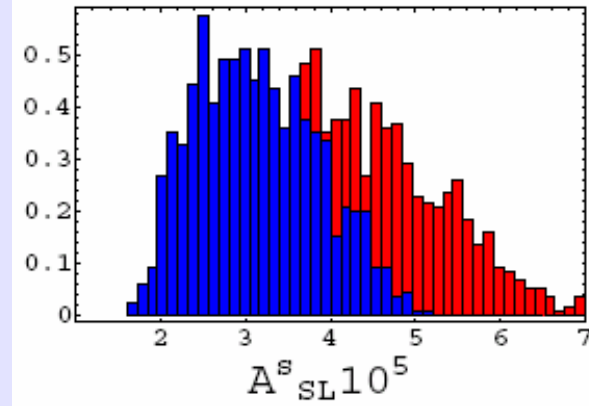
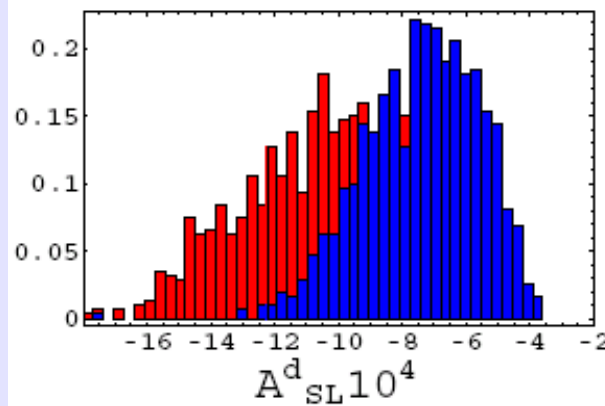


MA

Lo shift dei valori centrali segnala  
correzioni di  $O(\alpha_s^2)$  e  $O(\alpha_s/m_b)$   
importanti (non calcolate)

# Asimmetrie Semileptoniche

Distr. **NLO**  
VS  
Distr. **LO**



## Medie sperimentali:

$$A_{SL}^d = -(30 \pm 78) \cdot 10^{-4}, \quad A_{SL}^s = (2450 \pm 1930(\text{stat.}) \pm 350(\text{syst.})) \cdot 10^{-5}$$

[HFAG, 2006]

[D0, 2006]

## Predizioni teoriche al NLO + contributo di $O(1/m_b^4)$ :

$$A_{SL}^d = -(6.4 \pm 1.6) \cdot 10^{-4}, \quad A_{SL}^s = (2.7 \pm 0.6) \cdot 10^{-5}$$

[M.Ciuchini, E.Franco, V.Lubicz, F.Mescia, C.T., 2003]

Nelle combinazioni di coefficienti di Wilson che intervengono qui, il cambio di base non aiuta

	Base vecchia	Base nuova
$A_{SL}^d$	$-6.4(16)10^{-4}$	$-6.6(17)10^{-4}$
$A_{SL}^s$	$2.7(6)10^{-5}$	$2.8(6)10^{-5}$

## Prospettive future

Aggiornamento dei  
valori sperimentali di:

$$\frac{\tau(\Lambda_b)}{\tau(B_d)}$$

$$\frac{\Delta\Gamma_s}{\Gamma_s}$$

Prime misure accurate di:

$$\frac{\Delta\Gamma_d}{\Gamma_d}$$

$$A_{SL}^d$$

$$A_{SL}^s$$

## Sul piano teorico:

•Nuovi studi (unquenched) sul **reticolo delle costanti di decadimento e dei B-parametri** ( $\Delta B=2$ ) [D.Becirevic et al,...]

•Risultati per gli **operatori sotto-dominanti** (in  $\Delta\Gamma_q$  e  $A_{SL}^q$ ) con le **regole di somma in QCD** [A.A.Pivarov et al.]

This document was created with Win2PDF available at <http://www.win2pdf.com>.  
The unregistered version of Win2PDF is for evaluation or non-commercial use only.